

# เทคนิคการรวมตัวเหนี่ยวนำแบบใหม่สำหรับวงจรกรองสัญญาณรบกวนแม่เหล็กไฟฟ้า

## ด้วยการจำกัดขนาดของตัวเหนี่ยวนำ

**A novel of integrated EMI inductor using optimizing inductor-volume approach**

ปฏิวัติ บุญมา, วุฒิพง ธรรมธีรเศรษฐ์ และ วีระเชษฐ์ ขันเงิน

ภาควิชาวิศวกรรมไฟฟ้า คณะวิศวกรรมศาสตร์ สถาบันเทคโนโลยีพระจอมเกล้าเจ้าคุณทหารลาดกระบัง

3 หมู่ 2 ถนนคลองกรุง เขตคลองกระนัง กรุงเทพมหานคร 10520

โทรศัพท์ 0-2737-3000 ต่อ 3322 E-mail: [u\\_lain2@yahoo.com](mailto:u_lain2@yahoo.com), [vuttiponnet@yahoo.com](mailto:vuttiponnet@yahoo.com), [kkveerac@kmitl.ac.th](mailto:kkveerac@kmitl.ac.th)

Website: [www.kmitl.ac.th/emc](http://www.kmitl.ac.th/emc)

**GN09**

### **บทคัดย่อ**

บทความนี้ นำเสนอเทคนิคการรวมตัวเหนี่ยวนำโภมคร่วม (common mode choke) และตัวเหนี่ยวนำโภมคอดต่าง (differential mode choke) สำหรับวงจรกรองสัญญาณรบกวนแม่เหล็กไฟฟ้า (EMI filter) โดยใช้คือกรอบปริมาตรเท่ากับขนาดของตัวเหนี่ยวนำโภมคร่วมเพียง หนึ่ง ตัวเท่านั้น จากการเปรียบเทียบผลการวัดสัญญาณรบกวนแม่เหล็กไฟฟ้า ทางสายตัวนำ (conducted EMI) แสดงให้เห็นว่า เทคนิคการรวมตัวเหนี่ยวนำ ที่นำเสนอสามารถลดตอนสัญญาณรบกวนแม่เหล็กไฟฟ้า ทางสายตัวนำได้มากกว่าตัวเหนี่ยวนำโภมคร่วมแบบเก่า (conventional common mode choke) ประมาณ 10 dB $\mu$ V ระหว่างช่วงความถี่ 2 MHz – 15 MHz ในขณะที่ความถี่ในย่านอื่นจะมีขนาดใกล้เคียงกัน

**คำสำคัญ :** วงจรกรองสัญญาณรบกวนแม่เหล็กไฟฟ้า, ตัวเหนี่ยวนำโภมคร่วม

### **Abstract**

In this paper, the novel integrated common mode choke and differential mode choke, for EMI filter application, using optimizing inductor-volume approach is proposed. The conducted EMI for proposed inductor is verified by experiment. The experimental results show that proposed integrated EMI inductor can decrease the conducted EMI greater than conventional common mode inductor for 10 dB $\mu$ V during frequency range 2 MHz – 15 MHz. Moreover, the conducted EMI at other frequencies are similar.

**Keywords:** EMI Filter, Common Mode Choke, Integrated magnetic

### **1. คำนำ**

วงจรกรองสัญญาณรบกวนแม่เหล็กไฟฟ้า (EMI filter) มีหน้าที่หลักในการลดตอนสัญญาณรบกวนแม่เหล็กไฟฟ้าที่ผ่านทางสาย

ตัวนำที่เกิดจากแหล่งกำเนิดสัญญาณรบกวน (noise source) เช่น อุปกรณ์ไฟฟ้าและอิเล็กทรอนิกส์ เป็นต้น โดยย่านความถี่ที่พิจารณาสำหรับสัญญาณรบกวนแม่เหล็กไฟฟ้าทางสายตัวนำอ้างอิงตามมาตรฐาน CISPR 22 จะพิจารณาความถี่ตั้งแต่ 150 kHz – 30 MHz [1] ส่วนประกอบหลักของวงจรกรองสัญญาณรบกวนแม่เหล็กไฟฟ้า ได้แก่ ตัวเหนี่ยวนำโภมคร่วม (common mode choke) ตัวเหนี่ยวนำโภมคอดต่าง (differential mode choke) ตัวเก็บประจุผลต่าง ( $C_x$ ) และตัวเก็บประจุผลร่วม ( $C_y$ ) ซึ่งโดยทั่วไป ตัวเหนี่ยวนำที่ใช้สำหรับโภมคอดต่างและโภมคร่วมจะเป็นแบบแยกแยะแม่เหล็กออกจากกัน เป็นผลทำให้ขนาดของวงจรกรองแม่เหล็กไฟฟ้าจะขึ้นอยู่กับขนาดของตัวเหนี่ยวนำ เป็นหลัก และด้วยสาเหตุดังกล่าว ทำให้มีความพ犹าญใน การรวมตัวเหนี่ยวนำโภมคร่วมและตัวเหนี่ยวนำโภมคอดต่างเข้าด้วยกันโดยไม่มีขนาดเล็กที่สุด [2-4]

ในบทความฉบับนี้ได้นำเสนอเทคนิคในการรวมตัวเหนี่ยวนำโภมคร่วม และตัวเหนี่ยวนำโภมคอดต่างแบบใหม่สำหรับวงจรกรองสัญญาณรบกวนแม่เหล็กไฟฟ้าโดยใช้คือกรอบปริมาตรเท่ากับขนาดของตัวเหนี่ยวนำโภมคร่วมเพียงหนึ่งตัวเท่านั้น

### **2. การเกิดสัญญาณรบกวนทางแม่เหล็กไฟฟ้าสายตัวนำ**

สัญญาณรบกวนทางแม่เหล็กไฟฟ้าทางสายตัวนำสามารถแบ่งได้สองรูปแบบดังนี้คือ

- สัญญาณรบกวนโภมคร่วม (Common Mode Interference: CM)
- สัญญาณรบกวนโภมคอดต่าง (Differential Mode Interference: DM)

สำหรับนิยามของสัญญาณรบกวนโภมคร่วมคือ ความแตกต่างของสัญญาณรบกวนแม่เหล็กไฟฟ้าในสายตัวนำที่ยังกับสายกราวด์ ในขณะที่นิยามของสัญญาณรบกวนโภมคอดต่างคือ ความแตกต่างของสัญญาณรบกวนแม่เหล็กไฟฟ้าระหว่างสายตัวนำ

ดังนั้นในกรณีวงจรไฟฟ้า 1 เฟส ซึ่งประกอบด้วยสายไนลอน (L) สายนิวตรอน (N) และสายกราวด์หรือสายดิน (G) จะได้ค่าแรงดันไฟฟ้า

โใหมดคลร์วม (common mode voltage) และค่าแรงดันไฟฟ้าโใหมดคลต่าง (differential mode voltage) ดังต่อไปนี้

$$V_c = \frac{(V_{LG} + V_{NG})}{2} \quad (1)$$

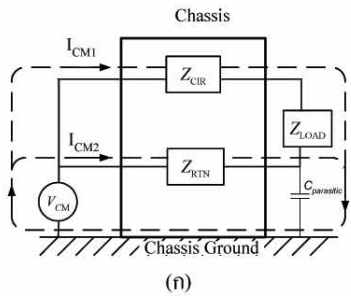
$$V_d = \frac{(V_{LG} - V_{NG})}{2} \quad (2)$$

โดยที่  $V_{LG}$  = แรงดันไฟฟ้าระหว่างสายไวน์กับกราวด์

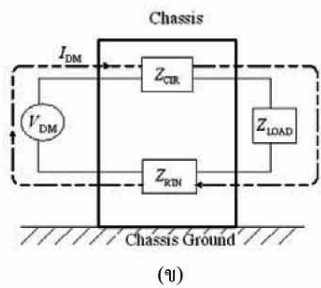
$V_{NG}$  = แรงดันไฟฟ้าระหว่างสายนิวตรอนกับกราวด์

$V_{LN}$  = แรงดันไฟฟ้าระหว่างสายไวน์กับนิวตรอน

ซึ่งการเดินทางของสัญญาณรบกวนแม่เหล็กไฟฟ้าโใหมดคลต่างและโใหมดร่วมที่อยู่ในรูปของกระแสไฟฟ้าจะมีทิศทางการไหลดังแสดงในรูปที่ 1 (ก) และ (ข) ตามลักษณะ ซึ่งจะเห็นได้ว่าการเดินทางของกระแสไฟฟ้าในโใหมดร่วมจะเดินทางผ่านตัวเก็บประจุแห่งของวงจรในขณะที่กระแสไฟฟ้าในโใหมดคลต่างจะไม่เดินทางผ่านตัวเก็บประจุแห่งดังกล่าว [5]



(ก)



(ข)

รูปที่ 1 การเดินทางของสัญญาณรบกวนแม่เหล็กไฟฟ้า (ก) นิยามสัญญาณรบกวนโใหมดร่วม (ข) นิยามสัญญาณรบกวนโใหมดคลต่าง

### 3. ตัวเหนี่ยวนำโใหมดร่วมและตัวเหนี่ยวนำโใหมดคลต่าง

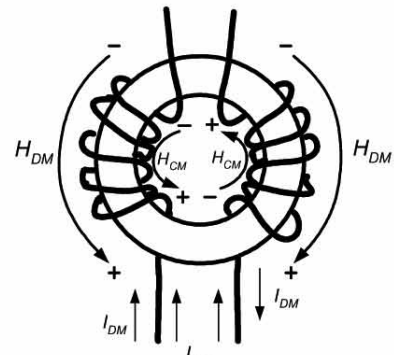
ตัวเหนี่ยวนำโใหมดร่วม ดังแสดงในรูปที่ 2 โดยที่ว่าจะมีหน้าที่หลักๆ คือการลดทอนสัญญาณรบกวนแม่เหล็กไฟฟ้าโใหมดร่วม โดยตัวเหนี่ยวนำโใหมดร่วมจะมีค่าอิมพีเดนซ์สูง (high impedance) เมื่อมีกระแสไฟฟ้าโใหมดร่วมไหลผ่าน และจะมีอิมพีเดนซ์เป็นสูญญ์สำหรับทิศทางของกระแสไฟฟ้าโใหมดคลต่าง อันจะไว้กีดกันในทางปฏิบัติ ค่าความหนี่ขว้างรั่วไฟฟ้า (leakage inductance) ของตัว  $L_{CM}$  สามารถลดทอนสัญญาณรบกวนแม่เหล็กไฟฟ้าโใหมดคลต่างได้เช่นกัน เพราะตัว  $L_{CM}$  เกิด

จากการพันขดลวดในทิศทางเดียวกันบนแกนแม่เหล็กเดียวกัน โดยตัวการพันค้างกับลวดแบบชิดติดกันก็จะทำให้ค่าความหนี่ขว้างรั่วไฟฟ้ามีค่าต่ำน้อย ก็จะเป็นผลทำให้การกรองสัญญาณรบกวนโใหมดคลต่างได้น้อย ตัวนี้ดังนั้นตัวเหนี่ยวนำโใหมดร่วมจึงมีบทบาทพันขาดลวดแบบไม่ชิดติดกัน เพื่อเพิ่มค่าตัวเหนี่ยวนำรั่วไฟฟ้าและลดผลของตัวเก็บประจุแห่งระหว่างขดลวด ซึ่งจะเห็นได้ว่าโครงสร้างของวงจรกรองสัญญาณรบกวนแม่เหล็กไฟฟ้าดังกล่าว จะมีประสิทธิภาพในการลดทอนสัญญาณรบกวนแม่เหล็กไฟฟ้าໄได้ดี แต่เนื่องจากวงจรกรองสัญญาณรบกวนแม่เหล็กไฟฟ้าประกอบด้วยอุปกรณ์พาราฟิล์มปัญหาเรื่องขนาดน้ำหนัก และราคาที่ใช้ในการแก้ปัญหาสัญญาณรบกวนแม่เหล็กไฟฟ้า

สำหรับแกนแม่เหล็กที่ใช้ในการพันตัวเหนี่ยวนำโใหมดร่วมจะเป็นแกนแม่เหล็กชนิดเฟอร์ไรต์ ในขณะที่แกนแม่เหล็กที่ใช้สำหรับตัวเหนี่ยวนำโใหมดคลต่างจะเป็นแกนแม่เหล็กชนิด powder core [6-7]

รูปที่ 2 จะแสดงทิศทางการพันขดลวดสำหรับตัวเหนี่ยวนำโใหมดร่วม (conventional common mode choke: CM choke) และแสดงทิศทาง

ทิศทาง และเมื่อพิจารณากระแสไฟฟ้าโใหมดร่วมที่ไหลผ่านในตัวเหนี่ยวนำโใหมดร่วมจะทำให้เกิดสนามแม่เหล็กในทิศทางเสริมกันทำให้มีค่าความหนี่ขว้างไฟฟ้าสูงขึ้น และเมื่อพิจารณากระแสไฟฟ้าโใหมดคลต่างที่ไหลผ่านในตัวเหนี่ยวนำโใหมดร่วม จะเกิดสนามแม่เหล็กในทิศทางหักล้างกันทำให้ค่าความหนี่ขว้างไฟฟ้าเป็นศูนย์

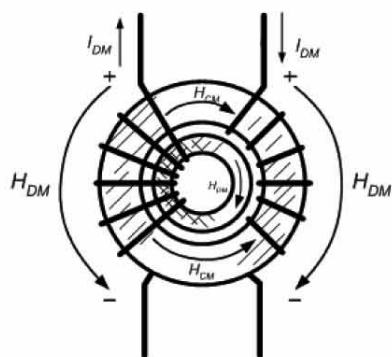


รูปที่ 2 การพันตัวเหนี่ยวนำโใหมดร่วมโดยทั่วไป (CM)

บทความ [2] ได้มีการนำเสนอเทคนิคในการรวมตัวเหนี่ยวนำโใหมดร่วมและตัวเหนี่ยวนำโใหมดคลต่าง รูปแบบการพันตัวเหนี่ยวนำโใหมดร่วม (Integrated CM Choke, ICM) จะมีการนำแกนแม่เหล็กสองวงมาวางซ้อนกัน โดยวงนอกจะเป็นแกนแม่เหล็กชนิดเฟอร์ไรต์ และวงในจะเป็นแกนแม่เหล็กชนิด powder core โดยใช้สายตัวเหนี่ยวนำจากการพันตัวเหนี่ยวนำโใหมดร่วมมาพันรวมแกนแม่เหล็กทั้งสองแกน ดังแสดงในรูปที่ 3 โดยการพันตัวเหนี่ยวนำโใหมดร่วมแบบ ICM จะเกิดสนามแม่เหล็กในโใหมดคลต่างในแกนแม่เหล็กวงในขึ้น ทำให้ช่วยประยัดดคลดลงในการพันแกนแม่เหล็กในโใหมดคลต่างได้ และด้วยวิธีดังกล่าวจะเป็นการลด

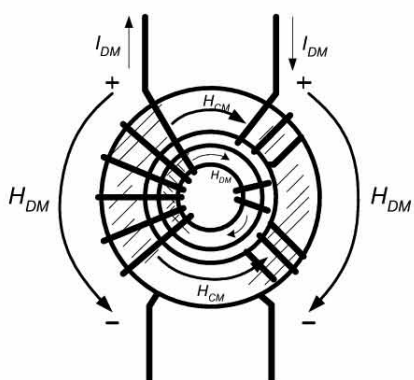
ขนาดของวงจรกรอง ง่ายต่อการพัน และลดด้านทุนในการผลิตได้เป็นอย่างดี

อย่างไรก็ตาม พิจารณาในรูปที่ 3 จะเห็นได้ว่าแกนแม่เหล็ก วงในหรือตัวเหนี่ยวนำโใหมดผลต่างยังคงมีพื้นที่อิสระส่วนหนึ่งที่ไม่ได้ใช้งานให้เกิดประโยชน์ได้ย่างใด เนื่องจากข้อเสียดังกล่าว ในบทความฉบับนี้จึงได้นำเสนอการรวมตัวเหนี่ยวนำแบบใหม่ที่ใช้ประโยชน์จากพื้นที่ที่มีอยู่ให้มากที่สุด



รูปที่ 3 การพันตัวเหนี่ยวนำโใหมดร่วมแบบ Integrated CM Choke (ICM)

รูปที่ 4 นำเสนอเทคนิคการรวมตัวเหนี่ยวนำโใหมดร่วมและตัวเหนี่ยวนำโใหมดผลต่างแบบใหม่ พิจารณาการออกแบบการพันตัวเหนี่ยวนำโใหมดร่วมแบบใหม่ที่นำเสนอ (Proposed Integrated CM choke: PICM) จะเห็นได้ว่าสามารถเพิ่มถ้าความหนี่ยาวนำโใหมดผลต่างให้สูงมากขึ้น โดยขนาดพื้นที่ที่ต่อกันขนาดของตัวเหนี่ยวนำโใหมดร่วมแบบเก่า รูปแบบการพันตัวเหนี่ยวนำโใหมดร่วมแบบใหม่ที่นำเสนอ ได้ทำการประยุกต์ใช้ประโยชน์จากผลลัพธ์ด้านหนึ่งมาพัฒนาพื้นที่แกนแม่เหล็กในโใหมดผลต่างที่เหลืออยู่ เพื่อเพิ่มสนามแม่เหล็กในโใหมดผลต่างหรือถ้าความหนี่ยาวนำในโใหมดผลต่างให้สูงขึ้น

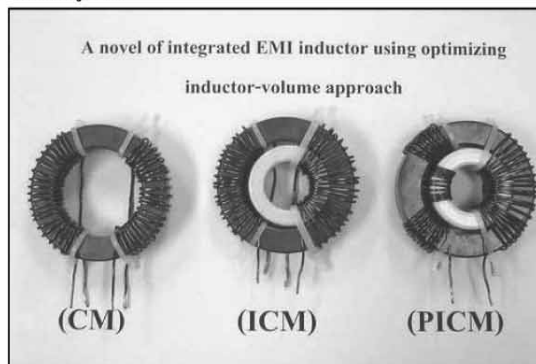


รูปที่ 4 การพันตัวเหนี่ยวนำโใหมดร่วมแบบใหม่ที่นำเสนอ Proposed Integrated CM Choke (PICM)

#### 4. ขั้นตอนการทดสอบ

สำหรับแกนแม่เหล็กที่ใช้ในการทำตัวเหนี่ยวนำโใหมดร่วมจะเป็นแกนแม่เหล็กชนิดเฟอร์ไรต์ชนิดเดียวกันทั้งสามแกนแม่เหล็ก และจำนวนรอบในการพันขดลวดเท่ากับ 20 รอบเท่ากันทั้งสองด้าน ในขณะที่สำหรับแกนแม่เหล็กที่ใช้ในการทำตัวเหนี่ยวนำโใหมดผลต่าง จะเป็นแกนแม่เหล็กชนิด powder core ที่มีค่า  $\mu_i = 75$  (Material # 26) [8] และการพันแบบ (PICM) จะมีการพันขดลวดเพิ่มที่ความหนี่ยาวนำโใหมดผลต่างเท่ากับ 10 รอบ เป็นจำนวนสูงสุดที่ของแกนแม่เหล็กจะพันได้ โดยลวดทองแดงที่ใช้จะเป็น เบอร์ AWG 18 และในการทดลองจะรักษาระยะห่างระหว่างขดลวดของทั้ง 3 รูปแบบให้ใกล้เคียงกันมากที่สุด นอกจากนี้จากการตรวจสอบวัสดุ self resonant frequency ของตัวเหนี่ยวนำ แต่ละตัวจะมีค่าสูงกว่า 40 MHz จึงไม่มีผลกระทบต่อการทดลอง

บทความนี้จะทำการทดสอบหาถ้าการลดตอนสัญญาณรบกวนแม่เหล็กไฟฟ้า โดยมีการพันตัวเหนี่ยวนำ 3 กรณี ดังนี้ การพันตัวเหนี่ยวนำโใหมดร่วมโดยทั่วไป (CM) การพันตัวเหนี่ยวนำโใหมดร่วมแบบ Integrated CM Choke (ICM) และการพันตัวเหนี่ยวนำโใหมดร่วมแบบใหม่ที่นำเสนอ Proposed Integrated CM Choke (PICM) ดังแสดงในรูปที่ 5



รูปที่ 5 การพันตัวเหนี่ยวนำโใหมดร่วมทั้ง 3 กรณี

ตารางที่ 1 แสดงเงื่อนไขของวงจรชุดคอนเวอร์เตอร์ที่ใช้ในการทดสอบคุณสมบัติการลดตอนสัญญาณรบกวนแม่เหล็กไฟฟ้าของตัวเหนี่ยวนำโใหมดร่วมทั้งสามรูปแบบ

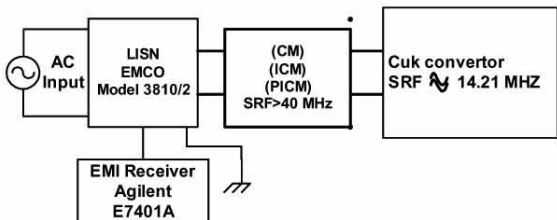
กำหนด	ค่าที่วัดได้
แรงดันอินพุต	24 V <sub>DC</sub>
แรงดันเอาท์พุต	48 V <sub>DC</sub>
ความถี่ (switching frequency)	50 kHz
กระแสเอาท์พุต	2 A

ตารางที่ 1 เป็นไข้ที่ใช้ในการทดสอบ

บทความนี้ใช้งานชุดคอนเวอร์เตอร์ (Cuk converter) ในการทดสอบสัญญาณรบกวนแม่เหล็กไฟฟ้า โดยวงจรดังกล่าวมีค่า self resonant frequency เท่ากับ 14.2 MHz [9] และโหลดที่ใช้คือ โหลดความ

GN09

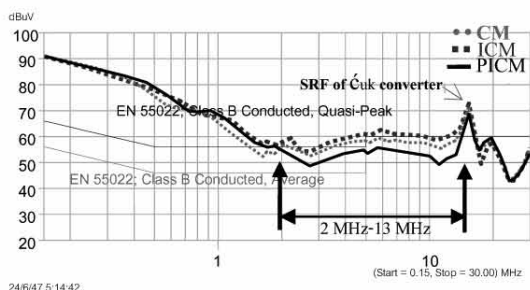
ด้านท่าน เพื่อวัดผลการใช้ตัวเหนี่ยวนำใหม่ร่วมทั้งสามแบบในการพิจารณาผลการรบกวนแม่เหล็กไฟฟ้าทางสายด่วนน้ำ



รูปที่ 6 ระบบที่ใช้ในการทดสอบวัดสัญญาณรบกวนแม่เหล็กไฟฟ้า

## 5. การวิเคราะห์ผลการทดสอบ

จากการทดสอบวัดสัญญาณรบกวนแม่เหล็กไฟฟ้าทั้ง 3 กรณี แสดงได้ดังรูปที่ 7 ซึ่งจะทำการเปรียบเทียบผลที่ได้จากการวัดสัญญาณรบกวนแม่เหล็กไฟฟ้าในย่านความถี่ตั้งแต่ 150 kHz – 30 MHz ซึ่งอยู่ตามมาตรฐาน CISPR 22 ผลจากการวัดสัญญาณรบกวนแม่เหล็กไฟฟ้าทางสายด่วนทำให้ทราบว่า การพันตัวเหนี่ยวนำใหม่ร่วมแบบใหม่ที่นำเสนอด้วย (PICM) สามารถที่จะลดตอนสัญญาณรบกวนแม่เหล็กไฟฟ้าได้ดีกว่าการพันตัวเหนี่ยวนำใหม่ร่วมโดยทั่วไป (CM) ประมาณ 10 dB<sub>MV</sub> และการพันตัวเหนี่ยวนำใหม่ร่วมแบบ Integrated CM Choke (ICM) ประมาณ 5 dB<sub>MV</sub> ในย่านความถี่ตั้งแต่ 2 MHz – 15 MHz โดยการลดตอนในย่านความถี่ดังกล่าวก็จะจากมาค่าความหนาที่เพิ่มขึ้นของตัวเหนี่ยวนำแบบที่นำเสนอด้วยในขณะที่ย่านความถี่ต่อๆ ๆ จะมีค่าไกล์เดียวกัน นอกจากนี้ ที่ความถี่ประมาณ 15 MHz ซึ่งเป็นจุด self resonant frequency ของวงจรชุดคอนเวอร์เตอร์ที่ใช้ในการทดสอบจะเห็นได้ว่า ค่าของสัญญาณรบกวนจะเกิดขึ้นเหมือนกันหมดไม่ว่าจะใช้ตัวเหนี่ยวนำแบบใดก็ตาม



รูปที่ 7 ผลการวัดสัญญาณรบกวนแม่เหล็กไฟฟ้าทั้ง 3 กรณี

## 6. สรุป

เทคนิคในการรบกวนตัวเหนี่ยวนำใหม่ร่วมและตัวเหนี่ยวนำใหม่ผลิต่างแบบที่นำเสนอด้วย (PICM) สามารถที่จะลดตอนสัญญาณรบกวนแม่เหล็กไฟฟ้าทางสายด่วนได้ดีกว่าการพันตัวเหนี่ยวนำใหม่ร่วมที่ใช้อุปกรณ์โดยทั่วไป (CM) ประมาณ 10 dB<sub>MV</sub> ที่ย่านความถี่ 2 MHz – 15 MHz นอกจากนี้ข้อดีของเทคนิคการรบกวนตัวเหนี่ยวนำใหม่ที่นำเสนอด้วย คือ มีขนาดเล็ก และมีอัตราการลดตอนสัญญาณรบกวนแม่เหล็กไฟฟ้า

ทางสายด่วนได้สูง เป็นผลทำให้สามารถลดขนาดของวงจรกรองสัญญาณรบกวน (EMI filter) ได้อย่างมีประสิทธิภาพ อย่างไรก็ตาม ย่านความถี่ที่เทคนิคในการรบกวนตัวเหนี่ยวนำแบบใหม่ ที่นำเสนอสามารถลดตอนได้จะขึ้นอยู่กับย่านความถี่ที่แกน powder core สามารถทำงานได้

## เอกสารอ้างอิง

- [1] V. Prasad Kodali "Engineering Electromagnetic Compatibility: Principles, Measurements, and Technologies" IEEE Press, 1996.
- [2] Richard Frederick, "Integrated electromagnetic interference filter", U.S. Patent 5 083 101, Jan 21, 1992.
- [3] Kouichi Yamaguchi, "Choke coil for eliminating common mode noise and differential mode noise", U.S. Patent 5 581 224, Dec 3, 1996.
- [4] Anand K. Upadhyay, "Integrated common mode and differential mode inductor device", U.S. Patent 5 313 176, May 17, 1994.
- [5] John C. Fluke. "Controlling Conducted Emission By Design". VANNOSTRAND REINHOLD, Inc 1991.
- [6] Richard Lee Ozenbaugh, "EMI Filter Design", Marcel Dekker, 1996.
- [7] Robert West, Common Mode Inductors for EMI filters Require Careful Attention to core Material Selection, PCIM Magazine, July 1995.
- [8] Coilws.com, Inc., [www.roilws.com](http://www.roilws.com)
- [9] Boonma. P, Tarateeraseth. V, Khan-ngern. W, Nitta. S, "The EMI study of Self-resonant Frequency Effect on a Cuk Converter", EMC 04 Sendai., vol. 2, pp. 701-704, 2004

ปฏิวัติ บุญนา ปัจจุบันกำลังศึกษาต่อในระดับปริญญาโท สาขาวิศวกรรมไฟฟ้า สถาบันเทคโนโลยีพระจอมเกล้าเจ้าคุณทหารลาดกระบัง



วุฒิพล ธรรมเรืองรัช จบการศึกษา วศ.บ. (ไฟฟ้า), วศ.ม. (ไฟฟ้า) จากสถาบันเทคโนโลยีพระจอมเกล้าเจ้าคุณทหารลาดกระบัง ปัจจุบันเป็นวิศวกรที่ปรึกษาด้านความเสี่ยงไฟฟ้าทางแม่เหล็กไฟฟ้า วีระเชษฐ์ ขันเงิน จบการศึกษา วศ.บ. (ไฟฟ้า), วศ.ม. (ไฟฟ้า) จากสถาบันเทคโนโลยีพระจอมเกล้าเจ้าคุณทหารลาดกระบัง, Ph.D.(Electrical Engineering) จาก Imperial College, University of London, UK. ปัจจุบันดำรงตำแหน่งรองศาสตราจารย์ ประจำภาควิชาชีวิศวกรรมไฟฟ้า สถาบันเทคโนโลยีพระจอมเกล้าเจ้าคุณทหารลาดกระบัง